

# 1 計算手法

## 1.1 Squirmer モデル

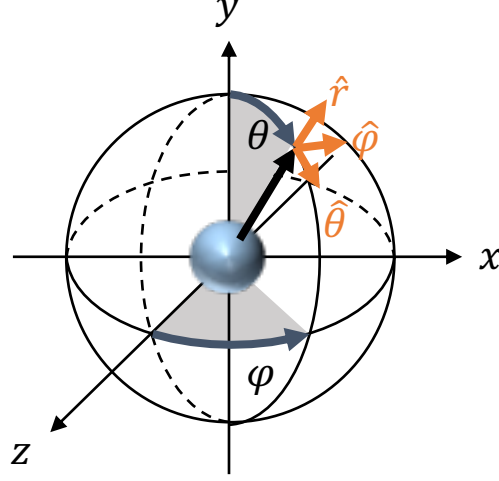


Fig. 1 本実験の座標系

マイクロスイマーのモデルとして，Squirmer モデル<sup>[1]</sup>を採用した．このモデルでは，球形の粒子表面において，粒子と流体の速度差が式 (1) で表されるような sliding 境界条件を用いる．

$$\mathbf{u}^s = \sum_{n=1}^{\infty} \frac{2}{n(n+1)} B_n P'_n(\cos \theta) \sin \theta \hat{\boldsymbol{\theta}} \quad (1)$$

ここで，式中の  $\theta, \hat{\boldsymbol{\theta}}$  は Fig.1 のように表される角度および単位角度ベクトルである．本研究では， $xy$  平面上を  $x$  軸正の向きに流れるせん断流を考えたので，Fig.1 中の  $\varphi$  は  $\pi/2$  で固定されているとした．また， $\mathbf{u}^s$  はマイクロスイマー表面の重心に対する slide 速度， $B_n$  は係数， $P'_n$  は  $n$  次 Legendre 多項式の導関数である．しかし， $n = 1$  の項は squirmer の泳動速度を， $n = 2$  の項は squirmer の存在によって生じる応力を決めるが， $n \geq 3$  の項は，泳動速度，および応力に影響を与えないので，式 (1) は，第 1, 2 項のみを考えることで，式 (2) の様に簡略化できる．

$$\mathbf{u}^s = B_1 \left( \sin \theta + \frac{\alpha}{2} \sin 2\theta \right) \hat{\boldsymbol{\theta}} \quad (2)$$

ここで， $B_1$  はマイクロスイマーの進行速度の大きさ ( $U = 2/3B_1$ ) を与え， $\alpha = B_2/B_1$  はその符号によりスイマーの種類を表す定数となる． $\alpha > 0$  を Puller 型， $\alpha = 0$  を Neutral 型， $\alpha < 0$  を Pusher 型と呼ぶ．Puller 型は，周辺流体に収縮流を生成し，Pusher 型は伸長流を生成する．

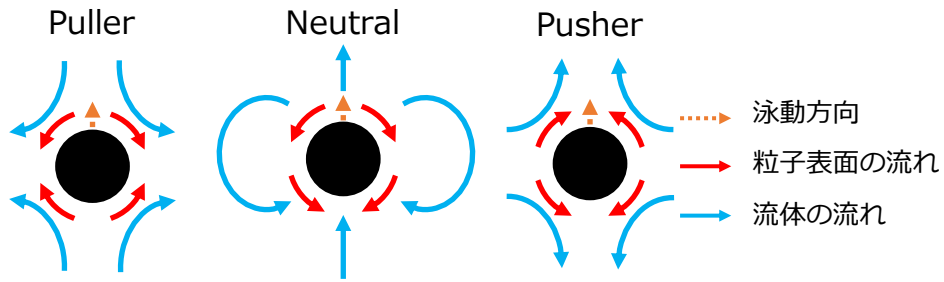


Fig. 2 Squirmer モデルにおける Pusher 型, Neutral 型, Puller 型の概略図

## 1.2 Smoothed Profile Method

固液二相シミュレーションにおいて、固体-液体の移動境界の取り扱い是非常に重要である．今回のシミュレーションでは、物理量とは異なる識別関数を導入し、仮想流体領域を考える Smoothed Profile Method (SPM)<sup>1</sup> を用いた．SPM では、流体と粒子の界面に Fig.3 で表されるような界面関数  $\phi$  を導入する．ここで、 $a$  は粒子の半径、 $\xi$  は界面の幅を表す．この界面関数は、流体領域で  $\phi = 0$ 、粒子領域で  $\phi = 1$  をとり、幅  $\xi$  の界面領域では滑らかに変化する連続関数である．界面関数の導入により、境界条件を解く必要がなくなり、計算負荷を軽減され、以下で説明する Navier-Stokes 方程式、および運動方程式を直接数値計算によって解くことが可能となる．

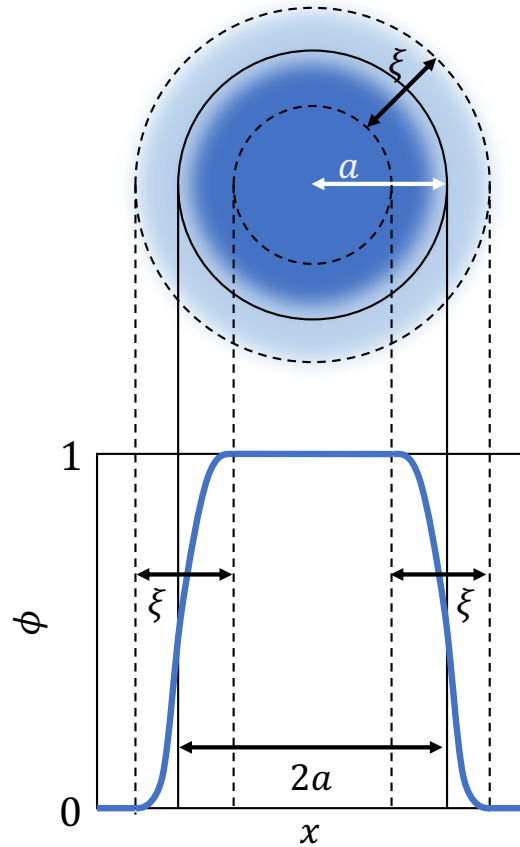


Fig. 3 SPM の界面関数

### 1.3 支配方程式

本研究では、流体の運動を非圧縮条件の Navier-Stokes 方程式、マイクロスイマーの運動を Newton 方程式、および Euler 方程式を用いて解いた。

#### 1.3.1 Navier-Stokes 方程式

$$\rho_f(\partial_t + \mathbf{u} \cdot \nabla) \mathbf{u} = \nabla \cdot \boldsymbol{\sigma} + \rho_f(\phi \mathbf{f}_p + \mathbf{f}_{sq} + \mathbf{f}_s) \quad (3)$$

$$\nabla \cdot \mathbf{u} = 0 \quad (4)$$

ここで、 $t$  は時間、 $\rho_f$  は流体の質量密度、 $\boldsymbol{\sigma}$  は流体の応力テンソル、 $\phi \mathbf{f}_p$  は粒子の剛直性を保証する体積力、 $\mathbf{f}_{sq}$  は流体と粒子間の速度差を生じる力、 $\mathbf{f}_s$  はジグザグ流を生じる力である。ジグザグ流とは、式 (5) のような速度プロファイルで表される流体の流れである。

$$v_x(y) = \begin{cases} \dot{\gamma}(-y - L_y/2) & (-L_y/2 < y \leq -L_y/4) \\ \dot{\gamma}y & (-L_y/4 < y \leq L_y/4) \\ \dot{\gamma}(-y + L_y/2) & (L_y/4 < y \leq L_y/2) \end{cases} \quad (5)$$

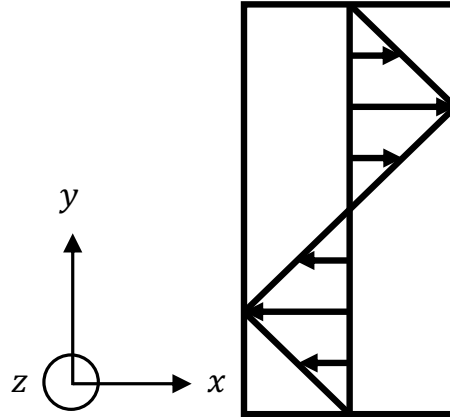


Fig. 4 ジグザグ流の速度プロファイル

ここで、 $\dot{\gamma}$  はせん断速度、 $y$  は  $y$  座標の値、 $L_y$  は  $y$  軸方向の系の大きさである。本研究では、せん断流を表現するためにジグザグ流を用いた。

#### 1.3.2 運動方程式

$$\dot{\mathbf{R}}_i = \mathbf{V}_i \quad (6)$$

$$M_p \dot{\mathbf{V}}_i = \mathbf{F}_i^H \quad (7)$$

$$\mathbf{I}_p \cdot \dot{\boldsymbol{\Omega}}_i = \mathbf{N}_i^H + \mathbf{N}_i^{\text{b.h.}} \quad (8)$$

ここで、 $\mathbf{F}_i^H$  は流体から受ける力、 $\mathbf{N}_i^H$  は流体から受けるトルク、 $\mathbf{N}_i^{\text{b.h.}}$  は bottom heavy 性によるトルクである。  $M_p$  は粒子の質量、 $\mathbf{I}_i$  は慣性モーメント、 $\mathbf{R}_i$  は粒子の位置、 $\mathbf{V}_i$  は粒子の速度、 $\dot{\boldsymbol{\Omega}}_i$  は粒子の角速度である。 Fig.5 のように、球の中心と粒子の重心がずれている、bottom heavy 性を有する squirmer について、その性質に起因するトルクは式 (9) で計算される。

$$\mathbf{N}^{\text{b.h.}} = \frac{4}{3}\pi a^3 \rho h \hat{\mathbf{e}} \times \mathbf{g} \quad (9)$$

ここで、 $a$  は粒子の半径、 $\rho$  は粒子の密度、 $h$  は球の中心と粒子の重心との距離、 $\hat{\mathbf{e}}$  は粒子の方向ベクトル、 $\mathbf{g}$  は重力ベクトルである。

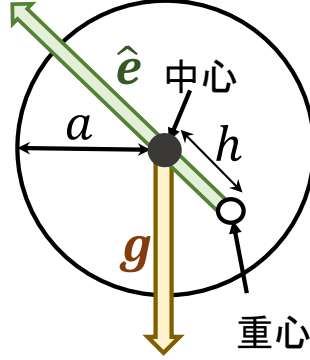


Fig. 5 bottom heavy 性を有する squirmer